

유연한 레일을 갖는 자기부상시스템의 진동제어

김 종 문, 박 민 국, 김 석 주
한국전기연구원 계측제어연구그룹
전화 : 055-280-1443, FAX : 055-280-1476

Vibration Control of Magnetic Levitation System with a Flexible Rail

Jong-Moon Kim, Min-Kook Park, Seok-Joo Kim
Instrumentation and Control Research Group, Korea Electrotechnology Research Institute
E-mail : jmkim@keri.re.kr

Abstract

In this paper, a rail-vibration controller of magnetic levitation system is designed and implemented. The target plant to be controlled is electro-magnetic type which is open-loop unstable, highly non-linear and time-varying system. The designed controller is validated by some kinds of experiments.

I. 서론

접촉에 의해 대상물을 지지하는 기존의 기계적 베어링과 달리 자기부상 시스템은 비접촉으로 대상체를 부상시켜 추진 또는 회전시키는 시스템을 말하며, 그 종류는 부상원리에 따라 흡인식과 반발식으로 크게 나눌 수 있는 데 여기서는 흡인식 부상방식을 대상으로 한다. 일반적으로 흡인식 부상방식은 상전도 마그네트에 의해 구현되나, 제어 관점에서 보면, 매우 큰 비선형성과 불안정 제어특성 그리고 파라미터 변동 등 많은 제어문제를 가지고 있다[1]. 또한 자기부상 시스템의 레일이 유연하거나, 자기베어링에서 회전속도가 매우 커지게 되면 회전축이 휘어져서 제어가 힘들어 지게 된다.

이 논문에서는 이러한 제어문제를 해결하기 위한 하나의 방법으로서, 레일의 유연 모드를 제어하기 위한 부상제어기 중 하나로 H_∞ 제어기[2]를 채택하였다.

H_∞ 제어기는 상태공간식에서 최적 해를 구하게 되며 비모델화 성분, 각종 외란 등을 설계 단계에서 고려할 수 있다는 장점이 있고, MATLAB[3]과 같은 소프트웨어 툴에 의해 쉽게 설계가 가능하다.

본 논문의 내용은 다음과 같다. 먼저 강체 레일을 포함한 자기부상 시스템의 기본 모델링을 한 후, 유연한 레일을 추가하여 유도한 부상 시스템의 전체 모델을 구하였다. 그리고 부상 시스템의 기본 모델과 이에 대한 가중함수를 가지고 H_∞ 제어기를 설계하였다. 설계된 제어기는 그 성능을 확인하기 위하여 강체 레일 및 유연 레일에 각각 적용하였고, 그 결과에 대한 분석을 하였다.

II. 자기부상 모델링

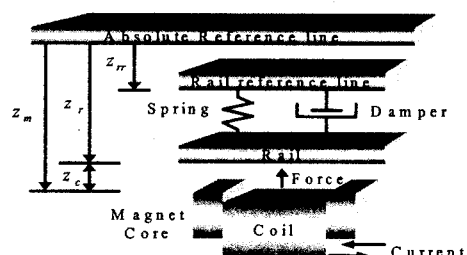


그림 1. 마그네트 및 유연 레일 시스템

상전도 자기부상 시스템은 비선형성이 강하고, 개루프 불안정한 시스템이며, 각종 파라미터가 시간적으로 변하는 제어 특성을 갖고 있다. 제2장에서는 이러한 자기부상 시스템에 대한 수학적 모델을 구하고자 한

다. 그림 1에서 레일이 강체이면 레일과 레일 기준면 사이의 스프링 및 림퍼는 무시할 수 있지만, 레일이 유연하면 2차 이상의 새로운 모드가 발생된다.

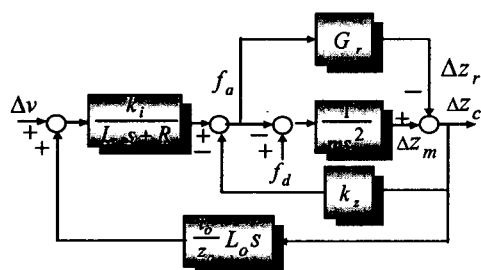


그림 2. 자기부상 시스템의 블록 다이아그램

이 장에서는 그림 1에서 일단 레일이 강체라고 가정한 후, 마그네트-레일 시스템에 대한 수학적 모델링을 하고, 유연 레일에 대해서는 이 장의 마지막에서 언급하기로 한다. 관심의 대상인 흡인식 자기부상 시스템에서 누설 자속이 없다는 가정을 하고, 비선형 시스템의 상태변수로서, 마그네트와 레일 사이의 공극 $z_c(t)$ 와 속도 $\dot{z}_c(t)$ 및 마그네트 전류 $i(t)$ 를 선택한다. 여기서 공극과 속도는 기계적인 운동 상태이고, 전류는 전기적인 상태를 의미하게 되어 결국 시스템의 차수는 3이 된다. 이 시스템의 입력은 제어전압 $v(t)$ 이고, 출력은 공극 $z_c(t)$ 인 자기부상시스템은 다음과 같은 비선형 방정식으로 표현된다.

$$\dot{x}(t) = f(x, t) + B(x, t)u + d \quad (1)$$

여기서 비선형 함수 $f(x, t)$ 의 $x(t) \in R^n$, $u(t) \in R^m$ 는 각각 시스템의 상태 벡터와 제어입력 벡터이고, $B \in R^{n \times m}$ 는 입력 행렬, d 는 자기부상 시스템에서 발생되는 외부 외란, 파라미터 변동, 모델링 안 된 플랜트 동특성 등 모든 모델 불확실성을 포함한다.

이제 z_0 , i_0 및 v_0 를 평형점에서 마그네트를 지지하기 위한 평형점 공극, 전류 및 제어전압이라 하고, 평형점으로부터의 변화분을 $\Delta z_c(t)$, $\Delta i(t)$, $\Delta v(t)$ 이라 하면, 공극 변화분 $\Delta z_c(t)$ 는 레일과 마그네트 사이의 상대적 값이고, $\Delta z_m(t)$ 와 $\Delta z_r(t)$ 는 각각 마그네트의 절대적인 위치 및 레일의 절대 위치를 의미하고, 그림 1에서 보인 바와 같이 다음과 같은 관계가 있다.

$$\Delta z_c(t) = \Delta z_m(t) - \Delta z_r(t) \quad (2)$$

이제 평형점에서 테일러 급수에 의한 근사화 과정을 거쳐 1차 항만 고려하고, 2차 이상의 항은 무시하면

다음과 같은 선형 상태방정식을 얻을 수 있다.

$$\begin{bmatrix} \Delta \dot{z}_c(t) \\ \Delta \ddot{z}_m(t) \\ \Delta \dot{i}(t) \end{bmatrix} = \begin{bmatrix} 0 & 1 & 0 \\ \frac{k_z}{m} & 0 & \frac{-k_i}{m} \\ 0 & \frac{i_0}{z_0} & \frac{-R}{L_0} \end{bmatrix} \begin{bmatrix} \Delta z_c(t) \\ \Delta \dot{z}_m(t) \\ \Delta i(t) \end{bmatrix} + \begin{bmatrix} 0 & -1 & 0 \\ \frac{1}{m} & 0 & f_d(t) \\ 0 & -\frac{i_0}{z_0} & \Delta z_r(t) \end{bmatrix} + \begin{bmatrix} 0 \\ 0 \\ \frac{1}{L_0} \end{bmatrix} \Delta v(t) \quad (3)$$

여기서 이 상태방정식은 3개의 외부 입력이 있는데, 그 중 $f_d(t)$ 와 $\Delta \dot{i}_r(t)$ 는 각각 힘 외란과 레일 외란을 의미한다. $\Delta \dot{z}_r(t)$ 는 레일이 강체이면서 표면이 고르지 못하면 임의의 크기를 갖게 된다. 또한 상수 R 과 m 은 마그네트 저항과 질량이고, 계수 k_i , k_z 및 L_0 은 각각 평형점에서의 전류계수, 공극계수 및 인덕턴스이다. 그림 2에서 전달함수 $G_r(s)$ 는 레일의 동역학을 의미하며, 만약 레일이 강체이면 무시된다.

III. 제어기 설계

이 절에서는 H_∞ 제어기를 자기부상 시스템에 적용하기 위해서, 먼저 그 제어기론에 대해 언급하고, H_∞ 제어기의 가중합수 튜닝에 의해 부상제어기를 설계하고자 한다.

먼저 그림 3과 같은 피드백 제어기를 포함한 폐루프 시스템을 고려한다. 여기서 플랜트와 제어기 전달함수 행렬 $G(s)$, $K(s)$, 가중합수 $W_1(s)$, $W_3(s)$ 모두 정방행렬이다. 전달함수행렬이 $G(s)$ 로 주어지는 동역학 시스템의 H_∞ 노음(norm)은 다음과 같이 정의된다.

$$|G|_\infty = \sup_w \bar{\sigma}(G(jw)) \quad (4)$$

$W_1(s)$, $W_3(s)$ 는 각각 오차신호, 출력신호에 대한 가중합수이고, 감도행렬 $S(s)$ 와 상보감도행렬 $T(s)$ 는 다음과 같다.

$$S = \frac{e}{r} = (I + GK)^{-1} \quad (5)$$

$$T = \frac{y}{r} = GK(I + GK)^{-1} = I - S \quad (6)$$

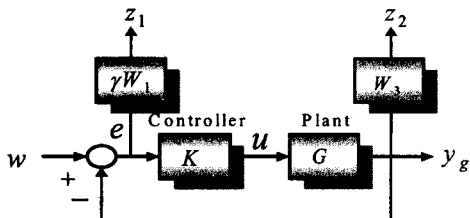


그림 3. 플랜트, 제어기 및 가중함수

의란 제거 성능과 강인성 안정에 대한 주파수 영역에서의 특성은 다음의 식 (7), (8)에 의해 결정된다.

$$\bar{\sigma}(s(jw)) < |\gamma^{-1} W_1^{-1}(jw)| \text{ for all } w \quad (7)$$

$$\bar{\sigma}(T(jw)) < |W_3^{-1}(jw)| \text{ for all } w \quad (8)$$

H_∞ 제어기 설계문제는 식 (9)의 T_{zw} 를 내부적으로 안정화시키면서 다음과 같이 강인성과 성능에 대한 H_∞ 노음을 최소화하는 제어기 $K(s)$ 를 구하는 문제로 간략화될 수 있다.

$$|T_{zw}|_\infty \leq 1 \quad (9)$$

여기서 $T_{zw} = \begin{bmatrix} \gamma W_1 S \\ W_3 T \end{bmatrix}$ 이고, 가중함수 $W_1(s)$ 및 $W_3(s)$

을 식 (10)과 같이 정하였다.

$$\begin{aligned} W_1(s) &= \frac{\gamma}{k_1} \frac{(t_n s + 1)^2}{(t_d s + 1)^2} \\ W_3(s) &= k_3 s^3 \end{aligned} \quad (10)$$

여기서 각 가중함수의 파라미터는 $\gamma = 1$, $k_1 = 0.015$, $t_n = 0.0159$, $t_d = 0.159$, $k_3 = 10^{-8}$ 이다.

IV. 시뮬레이션 결과

이 논문에서 사용된 단일자석 자기부상 시스템의 각 파라미터는 표 1과 같다.

표 1. 시스템 파라미터

파라미터	값	단위
자석 무게 m	6.0	kg
전류 계수 k_i	38	N/A
공극 계수 k_z	35615	N/m
저항 R	3.4	Ω
공칭 인덕턴스 L_o	0.09	H
마그네트 극 단면적 A	0.085x0.013	m^2
코일 권선수 N	726	회
공칭 공극 z_o	0.004	m
공칭 전류 i_o	2.2	A

그림 4는 설계된 H_∞ 제어기를 레일이 강체인 자기부상 시스템에 적용한 시뮬레이션 결과이다. 명령 추종 성능을 확인하기 위하여 기준 공극을 4mm에서 5mm로 변화시켰을 때의 공극과 전류 응답이며, 공극은 약간의 오버슈우트를 있지만 램핑은 비교적 양호하다고 볼 수 있다. 그림 5는 H_∞ 제어기 출력 값에 80msec 동안 4.0V를 더해서 마그네트에 적용한 임펄스 응답이다. 약 0.3초 이후에 램핑이 가능하다는 것을 알 수 있었다.

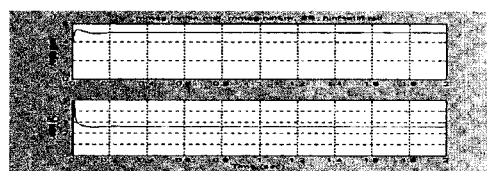


그림 4 강체 레일에서의 H_∞ 스텝 응답

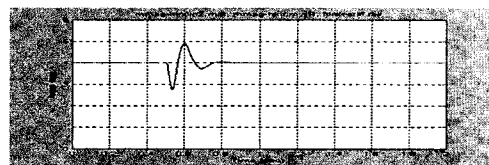


그림 5 강체 레일에서의 H_∞ 임펄스 응답

V. 실험 결과

5.1 실험 장치 설명



그림 6. 자기부상 실험장치 사진

그림 6은 제작된 자기부상 시스템에 대한 사진이며, U자형 상전도 마그네트와 캡 센서, 마그네트 양단의 LM 가이드 등으로 이루어져 있다. 이 장치에서 레일의 길이는 2.5m이며, 레일 양단에서는 비교적 강체처럼 단단하고, 레일 지지대의 한 가운데에서는 램핑이 매우 작은 유연한 레일 특성을 보인다. 제어기 하드

웨어로써, VME 버스의 미국 DEC사의 160MHz 클럭 주파수의 CPU 보드를 사용하였다. 제어 프로그램에서 샘플링주파수는 4[kHz]이고, 실시간 운영체인인 VxWorks[4] 환경에서 C 코드로 되어 있고, 워크스테이션에서 컴파일 된 후, 이더넷을 통하여 CPU 보드에 다운로드되어 실행된다. 피드백 센서는 갭 센서 및 전류 센서를 사용하였다. AD 보드는 정밀도 12bit, 변환 범위 $-5\sim+5V$, 채널수는 32이다. 제어기 출력 신호는 초퍼에 PWM 형태로 광케이블을 통하여 전송된다. 초퍼는 1-4상한 방식으로서, 스위칭 소자는 IGBT, 스위칭 주파수는 10kHz, DC 입력전압은 60V이다.

5.2 실험 결과

실험은 먼저, 강체 레일인 경우 H_∞ 제어기의 안정된 부상성능을 스텝 응답과 임펄스 응답을 통하여 보여주고, 이 제어기를 다시 유연 레일에 적용한 결과를 보인다. 그림 7과 8은 H_∞ 제어기를 강체 레일의 부상시스템에 적용했을 때의 스텝 응답과 임펄스 응답이며, 모두 0.2초 이내에 수렴한다는 것을 보여 준다. 그리고 그림 9와 10은 H_∞ 제어기를 유연 레일이 있는 자기부상 시스템에 적용했을 때의 스텝 응답과 임펄스 응답이다. 이 그림에서 볼 수 있듯이 H_∞ 제어기는 비록 레일이 유연하다고 할지라도 강체 레일처럼 텁핑 특성이 매우 우수하다는 것을 알 수 있다.

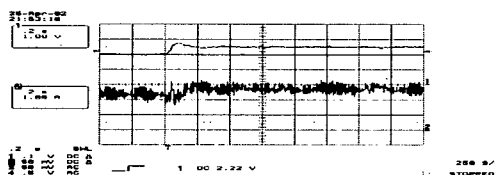


그림 7. H_∞ 제어시 강체레일의 스텝응답

위: 공극(2mm/div.), 아래: 전류(1A/div.)

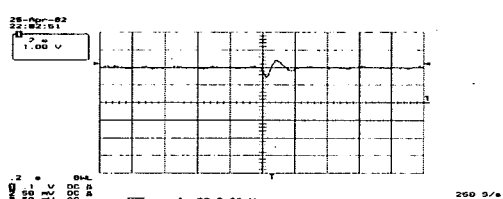


그림 8. H_∞ 제어시 강체레일의 임펄스 응답

공극(2mm/div.)

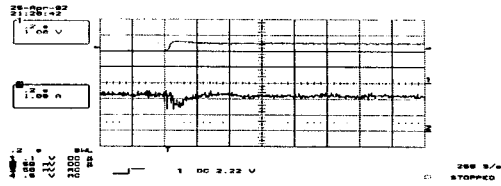


그림 9. H_∞ 제어시 유연레일의 스텝응답

위: 공극(2mm/div.), 아래: 전류(1A/div.)

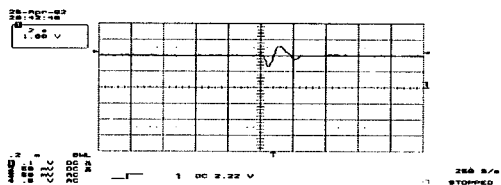


그림 10. H_∞ 제어시 유연레일의 임펄스 응답
공극(2mm/div.)

VI. 결론

지금까지 유연한 레일을 갖는 흡인식 자기부상 시스템에 대한 추종 성능과 외란 제거 성능을 개선하기 위해 장인성 제어기 일종인 H_∞ 제어기를 설계하였으며, 이 제어기의 성능을 확인하기 위해 실험 장치를 제작하고, 이것에 실제로 적용하여 여러 가지 실험 결과를 얻었다.

그 결과, 레일이 강체라고 가정하여 설계한 H_∞ 제어기는 강체 레일과 유연 레일 모두 양호한 결과를 얻을 수 있었다. 여기서 중요한 점은, 자기부상열차와 같은 실제 시스템에서는 레일의 형상이 다양하더라도 부상 결과는 큰 차이가 없어야만 한다. 설계된 H_∞ 제어기를 적용하면 레일이 강체이든 유연하든 안정도가 저하되지 않으면서도 유연 모드를 잘 제어할 수 있다는 것을 알 수 있다.

참고문헌

- [1] P.K. Sinha, *Electromagnetic suspension: dynamics and control*. Stevenage, U.K. Peregrinus, 1987.
- [2] K. Glover and J.C. Doyle, "State-space formulae for all stabilizing controllers that satisfy an H_∞ -norm bound and relations to risk sensitivity", *Syst. Control Letter*, vol.11, pp.167-172, 1988.
- [3] Robust control toolbox, ver 2.0.6, The Mathworks, 1998.
- [4] VxWorks User's Guide, The WindRiver, 1996.